



ХЕРСОНСКАЯ ОБЛАСТЬ  
АДМИНИСТРАЦИЯ СКАДОВСКОГО МУНИЦИПАЛЬНОГО ОКРУГА

ПОСТАНОВЛЕНИЕ

«31» 10 2024 г.

№ 65-17

г. Скадовск

**О передаче муниципального имущества Администрацией Скадовского муниципального округа Муниципальному бюджетному учреждению культуры "Центр культуры и досуга Скадовского муниципального округа" в оперативное управление**

Руководствуясь Уставом Администрации Скадовского муниципального округа Херсонской области утвержденным Решением Советом Депутатов Скадовского муниципального округа от 26.10.2024 № 26,

**ПОСТАНОВЛЯЮ:**

1. Закрепить за МБУК «ЦКиД Скадовского муниципального округа» на праве оперативного управления муниципальное имущество Скадовского муниципального округа Херсонской области, предназначенное для достижения уставных целей, согласно актам приема-передачи (Приложение № 1-4).

2. Администрации Скадовского муниципального округа осуществить прием – передачу муниципального имущества в установленном порядке.

3. Настоящее Постановление вступает в силу со дня его подписания и подлежит обнародованию согласно установленному порядку.

4. Контроль исполнения настоящего Постановления оставляю за собой.

Глава  
Скадовского муниципального округа  
Херсонской области



А. П. Дудка

1

Федеральное агентство по техническому регулированию и метрологии  
Удостоверение о поверке

Администрация Скаловского муниципального округа Херсонской области, администрации Скаловского муниципального округа Херсонской области Думы Администрации Скаловского муниципального округа Херсонской области Решение Совета депутатов Скаловского муниципального округа о бюджете на 2019 год и плановый период 2020-2021 годов на основании Закона Украины "О бюджетах на 2019 год и плановый период 2020-2021 годов" от 30.10.2018 №684, Указа Президента МУНИЦИПАЛЬНЫЕ БЮДЖЕТНОЕ УЧРЕЖДЕНИЕ "ЦЕНТР КУЛЬТУРЫ И ДОСУГА СКАЛОВСКОГО МУНИЦИПАЛЬНОГО ОКРУГА" в части затрат на содержание земельного участка по адресу: улица Грушевского, 16 в селе Скалы, в соответствии с Постановлением Кабинета Министров Украины от 26.04.2016 №№-117, Указом Президента о





























卷之三

THE HISTORY OF THE CHINESE IN AMERICA

Հայոց պատմություն

**ANSWER** **1** **PACKAGING** **2** **FOOD** **3** **PLASTIC**

1925-1926, d'abord à l'Institut de géologie de l'université de Paris.

Elon Musk  
Other countries  
China, India

JOURNAL OF CLIMATE

卷之三

卷之三

J. S. C. - JOURNAL OF  
SOCIETY, CULTURE AND  
EDUCATION



1	2
1	2
3	4
5	6

**Top Row: T cells/mm<sup>2</sup>**

- CD45RA:** Shows a positive correlation with CD45RA/CD45RO ratio. Y-axis ranges from 10<sup>0</sup> to 10<sup>6</sup>.
- CD45RO:** Shows a negative correlation with CD45RA/CD45RO ratio. Y-axis ranges from 10<sup>0</sup> to 10<sup>6</sup>.
- CD45RA/CD45RO ratio:** Shows a positive correlation with both CD45RA and CD45RO. Y-axis ranges from 10<sup>0</sup> to 10<sup>6</sup>.

**Middle Row: %**

- CD45RA:** Shows a positive correlation with CD45RA/CD45RO ratio. Y-axis ranges from 0% to 100%.
- CD45RO:** Shows a negative correlation with CD45RA/CD45RO ratio. Y-axis ranges from 0% to 100%.
- CD45RA/CD45RO ratio:** Shows a positive correlation with both CD45RA and CD45RO. Y-axis ranges from 0% to 100%.

**Bottom Row: ng/ml**

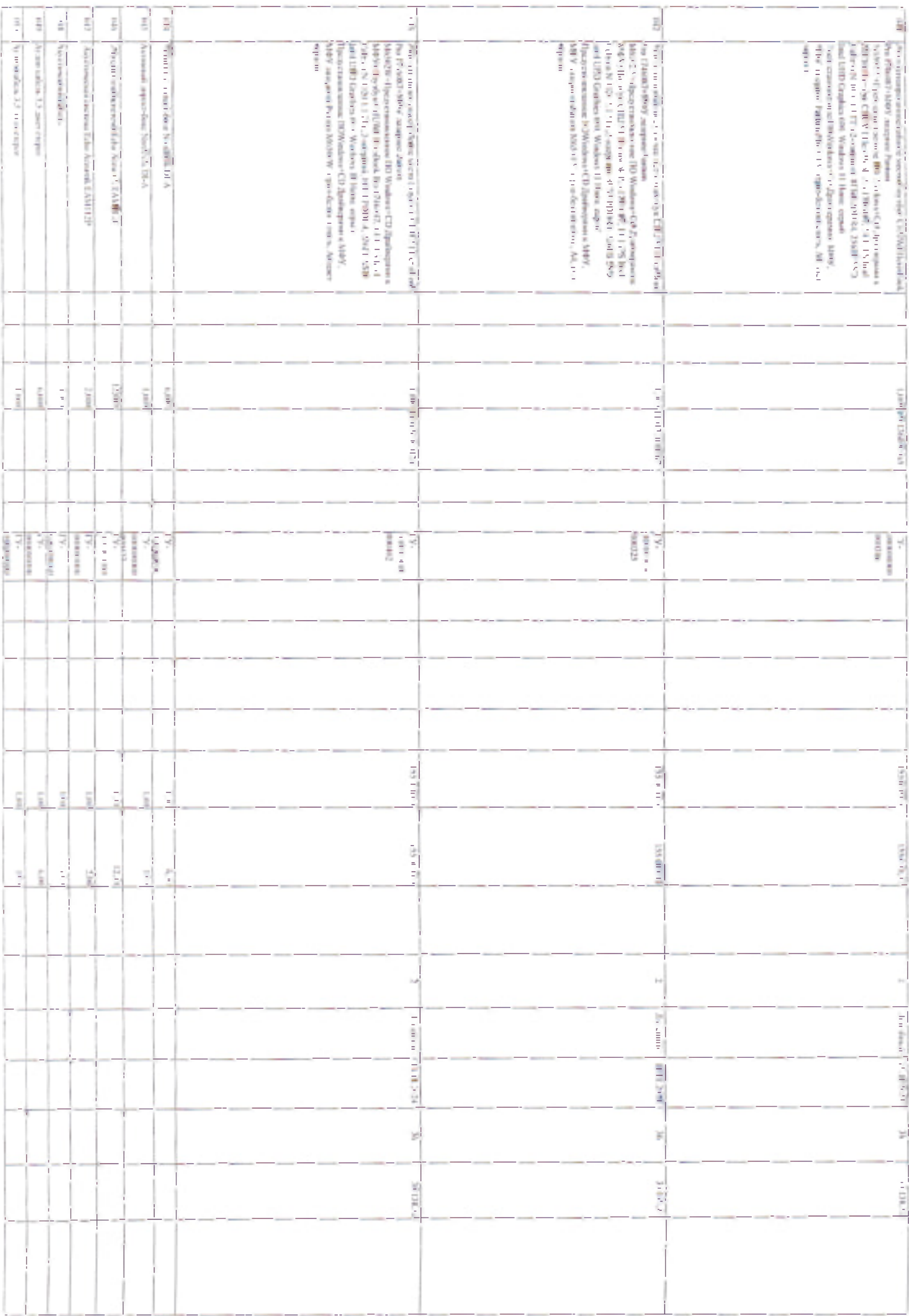
- CD45RA:** Shows a positive correlation with CD45RA/CD45RO ratio. Y-axis ranges from 10<sup>-10</sup> to 10<sup>-1</sup>.
- CD45RO:** Shows a negative correlation with CD45RA/CD45RO ratio. Y-axis ranges from 10<sup>-10</sup> to 10<sup>-1</sup>.
- CD45RA/CD45RO ratio:** Shows a positive correlation with both CD45RA and CD45RO. Y-axis ranges from 10<sup>-10</sup> to 10<sup>-1</sup>.

**Annotations:**

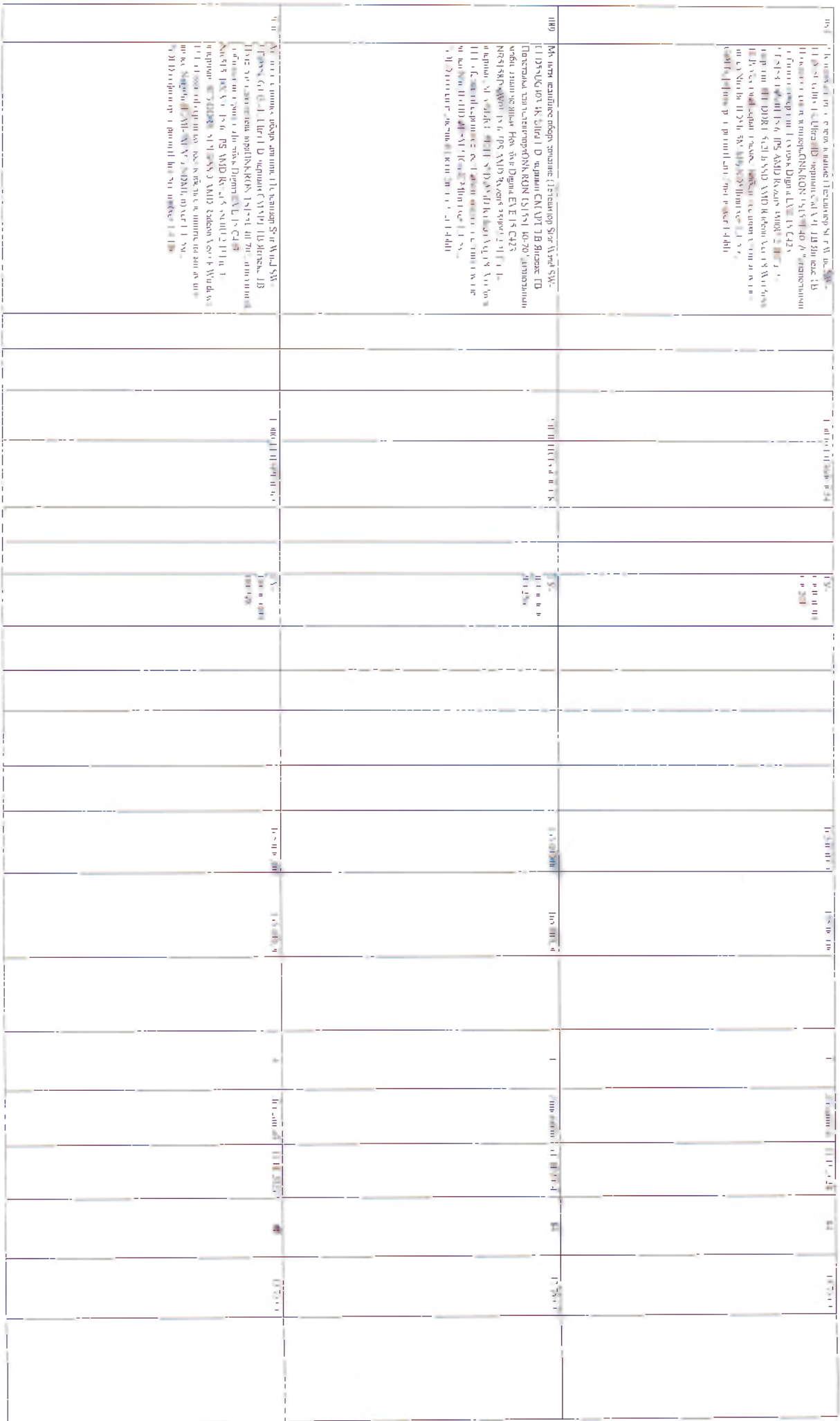
- CD45RA:**
  - Y-axis: CD45RA positive cells/mm<sup>2</sup> (log scale).
  - Graph: Shows a positive correlation with CD45RA/CD45RO ratio.
  - Notes: Correlation coefficient = 0.77, P < 0.0001.
- CD45RO:**
  - Y-axis: CD45RO positive cells/mm<sup>2</sup> (log scale).
  - Graph: Shows a negative correlation with CD45RA/CD45RO ratio.
  - Notes: Correlation coefficient = -0.77, P < 0.0001.
- CD45RA/CD45RO ratio:**
  - Y-axis: CD45RA/CD45RO ratio (log scale).
  - Graph: Shows a positive correlation with both CD45RA and CD45RO.
  - Notes: Correlation coefficient = 0.83, P < 0.0001.

This figure displays a complex set of astronomical data visualizations and tables, likely from a software package like AIPS. The interface is organized into several panels:

- Top Left Panel:** A small plot showing a spectrum with a peak around 1.6 GHz, with axes labeled "FREQ (GHz)" and "Spectrum".
- Top Right Panel:** A small plot showing a spectrum with a peak around 1.6 GHz, with axes labeled "FREQ (GHz)" and "Spectrum".
- Bottom Left Panel:** A small plot showing a spectrum with a peak around 1.6 GHz, with axes labeled "FREQ (GHz)" and "Spectrum".
- Bottom Right Panel:** A small plot showing a spectrum with a peak around 1.6 GHz, with axes labeled "FREQ (GHz)" and "Spectrum".
- Central Plot:** A large plot showing a distribution of data points across a coordinate system with axes labeled "RA" and "DEC".
- Table on the Right:** A detailed table containing numerous rows of data, likely representing individual sources or measurements. The columns include:
  - NAME: Source names.
  - RA: Right Ascension.
  - DEC: Declination.
  - CDRA: Galactic Longitude.
  - CDDEC: Galactic Latitude.
  - PA: Position Angle.
  - FWHM: Full Width at Half Maximum.
  - CLASS: Classification.
  - CONT: Continuum.
  - LINE: Line.
  - CONT+LINE: Continuum + Line.
  - CONT-LINE: Continuum - Line.
  - CONT/LINE: Continuum / Line.
  - CONT-CONT: Continuum - Continuum.
  - CONT-LINE: Continuum - Line.
  - CONT-CONT-LINE: Continuum - Continuum - Line.
  - CONT-CONT-CONT: Continuum - Continuum - Continuum.







1) DIFUSIÓN DE K. T. YUAN D. - J. R. ROBERTS. 1.2.1987. 10  
Herramientas de diseño en la radiación terapéutica. En: *Proceedings of the International Seminar on Radiotherapy and Oncology*. Núñez, G. M., Ed. ISAL. p. 299-302. 1987.  
2) DIFUSIÓN DE K. T. YUAN D. - J. R. ROBERTS. 1.2.1987. 10  
En: *Proceedings of the International Seminar on Radiotherapy and Oncology*. Núñez, G. M., Ed. ISAL. p. 303-306. 1987.

3) DIFUSIÓN DE K. T. YUAN D. - J. R. ROBERTS. 1.2.1987. 10

10

4) DIFUSIÓN DE K. T. YUAN D. - J. R. ROBERTS. 1.2.1987. 10  
En: *Proceedings of the International Seminar on Radiotherapy and Oncology*. Núñez, G. M., Ed. ISAL. p. 307-310. 1987.

5) DIFUSIÓN DE K. T. YUAN D. - J. R. ROBERTS. 1.2.1987. 10

6) DIFUSIÓN DE K. T. YUAN D. - J. R. ROBERTS. 1.2.1987. 10

7) DIFUSIÓN DE K. T. YUAN D. - J. R. ROBERTS. 1.2.1987. 10

8) DIFUSIÓN DE K. T. YUAN D. - J. R. ROBERTS. 1.2.1987. 10

9) DIFUSIÓN DE K. T. YUAN D. - J. R. ROBERTS. 1.2.1987. 10

10) DIFUSIÓN DE K. T. YUAN D. - J. R. ROBERTS. 1.2.1987. 10

11) DIFUSIÓN DE K. T. YUAN D. - J. R. ROBERTS. 1.2.1987. 10  
En: *Proceedings of the International Seminar on Radiotherapy and Oncology*. Núñez, G. M., Ed. ISAL. p. 307-310. 1987.

12) DIFUSIÓN DE K. T. YUAN D. - J. R. ROBERTS. 1.2.1987. 10

13) DIFUSIÓN DE K. T. YUAN D. - J. R. ROBERTS. 1.2.1987. 10

14) DIFUSIÓN DE K. T. YUAN D. - J. R. ROBERTS. 1.2.1987. 10

15) DIFUSIÓN DE K. T. YUAN D. - J. R. ROBERTS. 1.2.1987. 10

16) DIFUSIÓN DE K. T. YUAN D. - J. R. ROBERTS. 1.2.1987. 10

17) DIFUSIÓN DE K. T. YUAN D. - J. R. ROBERTS. 1.2.1987. 10

18) DIFUSIÓN DE K. T. YUAN D. - J. R. ROBERTS. 1.2.1987. 10

19) DIFUSIÓN DE K. T. YUAN D. - J. R. ROBERTS. 1.2.1987. 10  
En: *Proceedings of the International Seminar on Radiotherapy and Oncology*. Núñez, G. M., Ed. ISAL. p. 299-302. 1987.  
20) DIFUSIÓN DE K. T. YUAN D. - J. R. ROBERTS. 1.2.1987. 10  
En: *Proceedings of the International Seminar on Radiotherapy and Oncology*. Núñez, G. M., Ed. ISAL. p. 303-306. 1987.  
21) DIFUSIÓN DE K. T. YUAN D. - J. R. ROBERTS. 1.2.1987. 10  
En: *Proceedings of the International Seminar on Radiotherapy and Oncology*. Núñez, G. M., Ed. ISAL. p. 307-310. 1987.

22) DIFUSIÓN DE K. T. YUAN D. - J. R. ROBERTS. 1.2.1987. 10

23) DIFUSIÓN DE K. T. YUAN D. - J. R. ROBERTS. 1.2.1987. 10

24) DIFUSIÓN DE K. T. YUAN D. - J. R. ROBERTS. 1.2.1987. 10

25) DIFUSIÓN DE K. T. YUAN D. - J. R. ROBERTS. 1.2.1987. 10

26) DIFUSIÓN DE K. T. YUAN D. - J. R. ROBERTS. 1.2.1987. 10

27) DIFUSIÓN DE K. T. YUAN D. - J. R. ROBERTS. 1.2.1987. 10



The diagram consists of a large grid of small squares. Many squares contain mathematical symbols, formulas, or numbers. A blue circle is drawn on the left side of the grid.

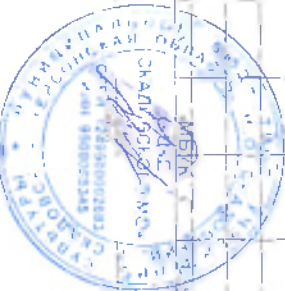
Some of the visible text and symbols include:

- Top row:  $\pi$ ,  $e$ ,  $\infty$ ,  $\sqrt{2}$ ,  $\sqrt{3}$ ,  $\sqrt{5}$ ,  $\sqrt{6}$ ,  $\sqrt{7}$ ,  $\sqrt{8}$ ,  $\sqrt{10}$ ,  $\sqrt{11}$ ,  $\sqrt{12}$ ,  $\sqrt{13}$ ,  $\sqrt{14}$ ,  $\sqrt{15}$ ,  $\sqrt{16}$ ,  $\sqrt{17}$ ,  $\sqrt{18}$ ,  $\sqrt{19}$ ,  $\sqrt{20}$ ,  $\sqrt{21}$ ,  $\sqrt{22}$ ,  $\sqrt{23}$ ,  $\sqrt{24}$ ,  $\sqrt{25}$ ,  $\sqrt{26}$ ,  $\sqrt{27}$ ,  $\sqrt{28}$ ,  $\sqrt{29}$ ,  $\sqrt{30}$ ,  $\sqrt{31}$ ,  $\sqrt{32}$ ,  $\sqrt{33}$ ,  $\sqrt{34}$ ,  $\sqrt{35}$ ,  $\sqrt{36}$ ,  $\sqrt{37}$ ,  $\sqrt{38}$ ,  $\sqrt{39}$ ,  $\sqrt{40}$ ,  $\sqrt{41}$ ,  $\sqrt{42}$ ,  $\sqrt{43}$ ,  $\sqrt{44}$ ,  $\sqrt{45}$ ,  $\sqrt{46}$ ,  $\sqrt{47}$ ,  $\sqrt{48}$ ,  $\sqrt{49}$ ,  $\sqrt{50}$ ,  $\sqrt{51}$ ,  $\sqrt{52}$ ,  $\sqrt{53}$ ,  $\sqrt{54}$ ,  $\sqrt{55}$ ,  $\sqrt{56}$ ,  $\sqrt{57}$ ,  $\sqrt{58}$ ,  $\sqrt{59}$ ,  $\sqrt{60}$ ,  $\sqrt{61}$ ,  $\sqrt{62}$ ,  $\sqrt{63}$ ,  $\sqrt{64}$ ,  $\sqrt{65}$ ,  $\sqrt{66}$ ,  $\sqrt{67}$ ,  $\sqrt{68}$ ,  $\sqrt{69}$ ,  $\sqrt{70}$ ,  $\sqrt{71}$ ,  $\sqrt{72}$ ,  $\sqrt{73}$ ,  $\sqrt{74}$ ,  $\sqrt{75}$ ,  $\sqrt{76}$ ,  $\sqrt{77}$ ,  $\sqrt{78}$ ,  $\sqrt{79}$ ,  $\sqrt{80}$ ,  $\sqrt{81}$ ,  $\sqrt{82}$ ,  $\sqrt{83}$ ,  $\sqrt{84}$ ,  $\sqrt{85}$ ,  $\sqrt{86}$ ,  $\sqrt{87}$ ,  $\sqrt{88}$ ,  $\sqrt{89}$ ,  $\sqrt{90}$ ,  $\sqrt{91}$ ,  $\sqrt{92}$ ,  $\sqrt{93}$ ,  $\sqrt{94}$ ,  $\sqrt{95}$ ,  $\sqrt{96}$ ,  $\sqrt{97}$ ,  $\sqrt{98}$ ,  $\sqrt{99}$ ,  $\sqrt{100}$ .

Other text and symbols include:

  - Top right:  $\frac{\pi}{2}$ ,  $\frac{\pi}{3}$ ,  $\frac{\pi}{4}$ ,  $\frac{\pi}{5}$ ,  $\frac{\pi}{6}$ ,  $\frac{\pi}{7}$ ,  $\frac{\pi}{8}$ ,  $\frac{\pi}{9}$ ,  $\frac{\pi}{10}$ ,  $\frac{\pi}{11}$ ,  $\frac{\pi}{12}$ ,  $\frac{\pi}{13}$ ,  $\frac{\pi}{14}$ ,  $\frac{\pi}{15}$ ,  $\frac{\pi}{16}$ ,  $\frac{\pi}{17}$ ,  $\frac{\pi}{18}$ ,  $\frac{\pi}{19}$ ,  $\frac{\pi}{20}$ ,  $\frac{\pi}{21}$ ,  $\frac{\pi}{22}$ ,  $\frac{\pi}{23}$ ,  $\frac{\pi}{24}$ ,  $\frac{\pi}{25}$ ,  $\frac{\pi}{26}$ ,  $\frac{\pi}{27}$ ,  $\frac{\pi}{28}$ ,  $\frac{\pi}{29}$ ,  $\frac{\pi}{30}$ ,  $\frac{\pi}{31}$ ,  $\frac{\pi}{32}$ ,  $\frac{\pi}{33}$ ,  $\frac{\pi}{34}$ ,  $\frac{\pi}{35}$ ,  $\frac{\pi}{36}$ ,  $\frac{\pi}{37}$ ,  $\frac{\pi}{38}$ ,  $\frac{\pi}{39}$ ,  $\frac{\pi}{40}$ ,  $\frac{\pi}{41}$ ,  $\frac{\pi}{42}$ ,  $\frac{\pi}{43}$ ,  $\frac{\pi}{44}$ ,  $\frac{\pi}{45}$ ,  $\frac{\pi}{46}$ ,  $\frac{\pi}{47}$ ,  $\frac{\pi}{48}$ ,  $\frac{\pi}{49}$ ,  $\frac{\pi}{50}$ ,  $\frac{\pi}{51}$ ,  $\frac{\pi}{52}$ ,  $\frac{\pi}{53}$ ,  $\frac{\pi}{54}$ ,  $\frac{\pi}{55}$ ,  $\frac{\pi}{56}$ ,  $\frac{\pi}{57}$ ,  $\frac{\pi}{58}$ ,  $\frac{\pi}{59}$ ,  $\frac{\pi}{60}$ ,  $\frac{\pi}{61}$ ,  $\frac{\pi}{62}$ ,  $\frac{\pi}{63}$ ,  $\frac{\pi}{64}$ ,  $\frac{\pi}{65}$ ,  $\frac{\pi}{66}$ ,  $\frac{\pi}{67}$ ,  $\frac{\pi}{68}$ ,  $\frac{\pi}{69}$ ,  $\frac{\pi}{70}$ ,  $\frac{\pi}{71}$ ,  $\frac{\pi}{72}$ ,  $\frac{\pi}{73}$ ,  $\frac{\pi}{74}$ ,  $\frac{\pi}{75}$ ,  $\frac{\pi}{76}$ ,  $\frac{\pi}{77}$ ,  $\frac{\pi}{78}$ ,  $\frac{\pi}{79}$ ,  $\frac{\pi}{80}$ ,  $\frac{\pi}{81}$ ,  $\frac{\pi}{82}$ ,  $\frac{\pi}{83}$ ,  $\frac{\pi}{84}$ ,  $\frac{\pi}{85}$ ,  $\frac{\pi}{86}$ ,  $\frac{\pi}{87}$ ,  $\frac{\pi}{88}$ ,  $\frac{\pi}{89}$ ,  $\frac{\pi}{90}$ ,  $\frac{\pi}{91}$ ,  $\frac{\pi}{92}$ ,  $\frac{\pi}{93}$ ,  $\frac{\pi}{94}$ ,  $\frac{\pi}{95}$ ,  $\frac{\pi}{96}$ ,  $\frac{\pi}{97}$ ,  $\frac{\pi}{98}$ ,  $\frac{\pi}{99}$ ,  $\frac{\pi}{100}$ .

Left side:  $\pi$ ,  $e$ ,  $\infty$ ,  $\sqrt{2}$ ,  $\sqrt{3}$ ,  $\sqrt{5}$ ,  $\sqrt{6}$ ,  $\sqrt{7}$ ,  $\sqrt{8}$ ,  $\sqrt{10}$ ,  $\sqrt{11}$ ,  $\sqrt{12}$ ,  $\sqrt{13}$ ,  $\sqrt{14}$ ,  $\sqrt{15}$ ,  $\sqrt{16}$ ,  $\sqrt{17}$ ,  $\sqrt{18}$ ,  $\sqrt{19}$ ,  $\sqrt{20}$ ,  $\sqrt{21}$ ,  $\sqrt{22}$ ,  $\sqrt{23}$ ,  $\sqrt{24}$ ,  $\sqrt{25}$ ,  $\sqrt{26}$ ,  $\sqrt{27}$ ,  $\sqrt{28}$ ,  $\sqrt{29}$ ,  $\sqrt{30}$ ,  $\sqrt{31}$ ,  $\sqrt{32}$ ,  $\sqrt{33}$ ,  $\sqrt{34}$ ,  $\sqrt{35}$ ,  $\sqrt{36}$ ,  $\sqrt{37}$ ,  $\sqrt{38}$ ,  $\sqrt{39}$ ,  $\sqrt{40}$ ,  $\sqrt{41}$ ,  $\sqrt{42}$ ,  $\sqrt{43}$ ,  $\sqrt{44}$ ,  $\sqrt{45}$ ,  $\sqrt{46}$ ,  $\sqrt{47}$ ,  $\sqrt{48}$ ,  $\sqrt{49}$ ,  $\sqrt{50}$ ,  $\sqrt{51}$ ,  $\sqrt{52}$ ,  $\sqrt{53}$ ,  $\sqrt{54}$ ,  $\sqrt{55}$ ,  $\sqrt{56}$ ,  $\sqrt{57}$ ,  $\sqrt{58}$ ,  $\sqrt{59}$ ,  $\sqrt{60}$ ,  $\sqrt{61}$ ,  $\sqrt{62}$ ,  $\sqrt{63}$ ,  $\sqrt{64}$ ,  $\sqrt{65}$ ,  $\sqrt{66}$ ,  $\sqrt{67}$ ,  $\sqrt{68}$ ,  $\sqrt{69}$ ,  $\sqrt{70}$ ,  $\sqrt{71}$ ,  $\sqrt{72}$ ,  $\sqrt{73}$ ,  $\sqrt{74}$ ,  $\sqrt{75}$ ,  $\sqrt{76}$ ,  $\sqrt{77}$ ,  $\sqrt{78}$ ,  $\sqrt{79}$ ,  $\sqrt{80}$ ,  $\sqrt{81}$ ,  $\sqrt{82}$ ,  $\sqrt{83}$ ,  $\sqrt{84}$ ,  $\sqrt{85}$ ,  $\sqrt{86}$ ,  $\sqrt{87}$ ,  $\sqrt{88}$ ,  $\sqrt{89}$ ,  $\sqrt{90}$ ,  $\sqrt{91}$ ,  $\sqrt{92}$ ,  $\sqrt{93}$ ,  $\sqrt{94}$ ,  $\sqrt{95}$ ,  $\sqrt{96}$ ,  $\sqrt{97}$ ,  $\sqrt{98}$ ,  $\sqrt{99}$ ,  $\sqrt{100}$ .



1215

5

卷之三

Parameter	Value	Description
Initial state	0.1	Initial state of the system
Final state	1.0	Final state of the system
Step width	0.01	Step width for numerical integration
Integration time	1000	Integration time for the simulation
Number of particles	1000	Total number of particles in the simulation
Radius of interaction	10	Radius of interaction for the potential
Spring constant	100	Spring constant for the harmonic oscillator
Damping coefficient	0.01	Damping coefficient for the harmonic oscillator
Time step	0.01	Time step for the numerical integration
Number of iterations	10000	Number of iterations for the simulation
Output frequency	100	Output frequency for saving data

Δ<sub>1</sub> = Δ<sub>2</sub> = 0.01. Consider one-dimensional random walk with step length  $\lambda = 1$ . The probability of a particle moving from position  $x$  to  $x+1$  is  $p(x)$ , and the probability of moving from  $x$  to  $x-1$  is  $q(x)$ . We consider two cases: (i)  $p(x) = q(x) = \frac{1}{2}$  for all  $x$ ; (ii)  $p(x) = q(x) = \frac{1}{2} + \frac{\epsilon}{2} \sin(\pi x)$  for all  $x$ . In both cases, we have  $p(x) + q(x) = 1$  for all  $x$ . The initial distribution is  $\pi_0(x) = 1$  for all  $x$ . The final distribution is  $\pi_T(x) = 1$  for all  $x$ .

卷之三



THE NORTH STAR

卷之三

卷之三